

### Adopted Levels, Gammas

Type	Author	History	Citation	Literature Cutoff Date
Full Evaluation	D. Abriola(a), A. A. Sonzogni		NDS 107,2423 (2006)	1-Jan-2006

$Q(\beta^-) = -901.7$  22;  $S(n) = 8219.5$  19;  $S(p) = 10332$  11;  $Q(\alpha) = -3747$  3    [2012Wa38](#)  
 Note: Current evaluation has used the following Q record  $-902.3$  228221.1 2010333 11-3750 3    [2003Au03](#).  
 $Q(2\beta^-) = 1142.9$  keV 19 ([2003Au03](#)).

### <sup>94</sup>Zr Levels

#### Cross Reference (XREF) Flags

<b>A</b>	<sup>94</sup> Y $\beta^-$ decay	<b>G</b>	<sup>94</sup> Zr(t,t')	<b>M</b>	<sup>96</sup> Zr(p,t)
<b>B</b>	<sup>92</sup> Zr(t,p)	<b>H</b>	<sup>94</sup> Zr( <sup>3</sup> He, <sup>3</sup> He')	<b>N</b>	<sup>98</sup> Mo(d, <sup>6</sup> Li)
<b>C</b>	<sup>94</sup> Zr(n,n' $\gamma$ )	<b>I</b>	<sup>94</sup> Zr( $\alpha,\alpha'$ )	<b>O</b>	<sup>173</sup> Yb( <sup>24</sup> Mg,F $\gamma$ )
<b>D</b>	<sup>94</sup> Zr(p,p')	<b>J</b>	Coulomb excitation	<b>P</b>	<sup>176</sup> Yb( <sup>28</sup> Si,F $\gamma$ )
<b>E</b>	<sup>94</sup> Zr(p,p' $\gamma$ )	<b>K</b>	<sup>94</sup> Mo( <sup>6</sup> Li, <sup>8</sup> B)		
<b>F</b>	<sup>94</sup> Zr(d,d')	<b>L</b>	<sup>94</sup> Mo( <sup>14</sup> C, <sup>16</sup> O)		

E(level) <sup>†</sup>	J <sup><math>\pi</math></sup>	T <sub>1/2</sub>	XREF	Comments
0.0	0 <sup>+</sup>	stable	<a href="#">ABCDEFGHIJKLMNO</a>	T <sub>1/2</sub> : >1.9×10 <sup>19</sup> y for <sup>94</sup> Zr(g.s.) to <sup>94</sup> Mo(g.s.) 2 $\nu$ 2 $\beta^-$ decay, T <sub>1/2</sub> > 0.23×10 <sup>19</sup> y for <sup>94</sup> Zr(g.s.) to <sup>94</sup> Mo(g.s.) neutrinoless 2 $\beta^-$ decay. Other: T <sub>1/2</sub> > 1.3×10 <sup>19</sup> y for <sup>94</sup> Zr(g.s.) to <sup>94</sup> Mo(2 <sup>+</sup> ) 2 $\beta^-$ decay ( <a href="#">1987No03</a> ). $\Delta\langle r^2 \rangle$ (fm <sup>2</sup> ): ( <sup>92</sup> Zr, <sup>94</sup> Zr)=0.176 20 ( <a href="#">1987Bo56</a> ), ( <sup>94</sup> Zr, <sup>96</sup> Zr)=0.126 23 ( <a href="#">1987Bo56</a> ), 0.117 14 ( <a href="#">1988Ga26</a> ) all from measured isotopic shifts. $\langle r^2 \rangle^{1/2} = 4.3312$ fm 9 ( <a href="#">2004An14</a> ). $\mu = -0.66$ 3 $\mu$ : From <a href="#">1999Ja13</a> from $\gamma$ -ray angular distribution of recoil ions slowing down in polarized Gadolinium following Coulomb excitation. Other: $\mu = -0.52$ 12 ( <a href="#">1989Ra17</a> ) $\mu = -0.14$ 14 ( <a href="#">1978Ge19</a> ). Both values are from $\gamma$ -ray angular distribution of recoil ions slowing down in polarized iron following Coulomb excitation. J <sup><math>\pi</math></sup> : L(p,t)=2. T <sub>1/2</sub> : from B(E2) in Coulomb Excitation. $\Delta\langle r^2 \rangle$ ( <sup>94</sup> Zr, <sup>96</sup> Zr) (fm <sup>2</sup> ) = 0.117 14 ( <a href="#">1988Ga26</a> ) optical isotopic shift.
918.75 5	2 <sup>+</sup>	6.9 ps 15	<a href="#">ABCDEFGHIJKLMNO</a>	J <sup><math>\pi</math></sup> : L(p,t)=0. T <sub>1/2</sub> : from $\beta\gamma\gamma$ (t) ( <a href="#">1990Ma40</a> ). Other: 0.28 ns 4 from (p,p' $\gamma$ ). J <sup><math>\pi</math></sup> : L(p,t)=4. T <sub>1/2</sub> : from $\beta\gamma\gamma$ (t) ( <a href="#">1990Ma40</a> ). J <sup><math>\pi</math></sup> : L(p,t)=2. J <sup><math>\pi</math></sup> : L(p,t)=3. J <sup><math>\pi</math></sup> : L(p,t)=2. J <sup><math>\pi</math></sup> : L( $\alpha,\alpha'$ )=4. J <sup><math>\pi</math></sup> : L(p,t)=2.
1300.19 12	0 <sup>+</sup>	0.291 ns 11	<a href="#">ABCDEFGH</a> <a href="#">KLMN</a>	J <sup><math>\pi</math></sup> : L(p,t)=0.
1469.62 10	4 <sup>+</sup>	0.500 ns 13	<a href="#">ABCD</a> <a href="#">FG</a> <a href="#">I</a> <a href="#">MNOP</a>	T <sub>1/2</sub> : from $\beta\gamma\gamma$ (t) ( <a href="#">1990Ma40</a> ). Other: 0.28 ns 4 from (p,p' $\gamma$ ). J <sup><math>\pi</math></sup> : L(p,t)=4.
1671.41 7	2 <sup>+</sup>		<a href="#">ABCD</a> <a href="#">FGHI</a> <a href="#">KLMN</a>	T <sub>1/2</sub> : from $\beta\gamma\gamma$ (t) ( <a href="#">1990Ma40</a> ). J <sup><math>\pi</math></sup> : L(p,t)=2.
2057.63 10	3 <sup>-</sup>		<a href="#">ABCD</a> <a href="#">FGHIJ</a> <a href="#">MN</a>	J <sup><math>\pi</math></sup> : L(p,t)=3.
2151.31 20	2 <sup>+</sup>		<a href="#">A</a> <a href="#">CD</a> <a href="#">F</a> <a href="#">M</a>	J <sup><math>\pi</math></sup> : L(p,t)=2.
2329.9 4	4 <sup>+</sup>		<a href="#">A</a> <a href="#">CD</a> <a href="#">F</a> <a href="#">I</a> <a href="#">OP</a>	J <sup><math>\pi</math></sup> : L( $\alpha,\alpha'$ )=4.
2366.12 14	2 <sup>+</sup>		<a href="#">ABCD</a> <a href="#">FG</a> <a href="#">I</a> <a href="#">MN</a>	J <sup><math>\pi</math></sup> : L(p,t)=2.
2401? 6			<a href="#">F</a>	
2507.7 5	(3) <sup>+</sup>		<a href="#">C</a> <a href="#">F</a>	J <sup><math>\pi</math></sup> : M1+E2 $\gamma$ 's to 2 <sup>+</sup> , $\gamma$ from 4 <sup>+</sup> , supported by Wolfenstein-Hauser-Feshbach calculations for (n,n' $\gamma$ ).
2605.0 5	5 <sup>-</sup>		<a href="#">BCD</a> <a href="#">FG</a> <a href="#">I</a> <a href="#">MNOP</a>	J <sup><math>\pi</math></sup> : L(p,t)=5.
2698.5 10	(1,2,3)		<a href="#">C</a> <a href="#">F</a>	J <sup><math>\pi</math></sup> : from (n,n' $\gamma$ ): measured $\gamma(\theta)$ compared to Wolfenstein-Hauser-Feshbach calculations.
2719?			<a href="#">F</a>	
2769?			<a href="#">F</a>	

Continued on next page (footnotes at end of table)

**Adopted Levels, Gammas (continued)** $^{94}\text{Zr}$  Levels (continued)

E(level) <sup>†</sup>	J <sup>π</sup>	XREF	Comments
2826.0 6	(2,3)	C F	J <sup>π</sup> : from (n,n'γ):measured γ(θ) compared to to Wolfenstein-Hauser-Feshbach calculations.
2846.3 3	(1 <sup>-</sup> )	A CD F	J <sup>π</sup> : L(d,d')=1,4; γ to 0 <sup>+</sup> .
2860.6 11	4 <sup>+</sup>	C FG	J <sup>π</sup> : L(d,d')=4.
2888.2 17	4 <sup>+</sup>	BCD F I	J <sup>π</sup> : L(α,α')=4.
2908.05? 20	(2 <sup>+</sup> )	A F	J <sup>π</sup> : L(d,d')=2,3,4; γ to 0 <sup>+</sup> .
2925 5	(1 <sup>-</sup> ,3 <sup>-</sup> ,4 <sup>+</sup> )	F	J <sup>π</sup> : L(d,d')=1,3,4.
2945.0 4	5 <sup>-</sup>	ABCD I	J <sup>π</sup> : L(α,α')=5.
3014 <sup>±</sup> 8		B	
3030 6		F	E(level): probably a doublet.
3059.31 17	(1,2,3) <sup>+</sup>	A C F I	J <sup>π</sup> : log ft=7.4 in β <sup>-</sup> decay from 2 <sup>-</sup> .
3142.4 4	(6 <sup>+</sup> )		OP
3156.4 9	(4 <sup>+</sup> )	BCD F I	J <sup>π</sup> : L(α,α')=4.
3219.42 13	(1,2,3)	ABCD FG I	J <sup>π</sup> : log ft=7.2 in β <sup>-</sup> decay from 2 <sup>-</sup> , possibly L(d,d')=3.
3281 6	(2 <sup>+</sup> )	F	J <sup>π</sup> : L(d,d')=2.
3316 6		F	E(level): possible doublet.
3331 6	(5 <sup>-</sup> )	D F I	J <sup>π</sup> : L(α,α')=5. Due to poor back angle statistics this assignment is not certain.
3361.16 18	(1,2,3)	ABCD FG I	J <sup>π</sup> : log ft=7.3 in β <sup>-</sup> decay from 2 <sup>-</sup> , possibly L(α,α')=3.
3407 6	(3 <sup>-</sup> ,4 <sup>+</sup> )	F I	J <sup>π</sup> : L(d,d')=1,3,4; L(α,α')=(3,4).
3442.5 5	(7 <sup>-</sup> )		OP
3482 <sup>±</sup> 8		B D F I	
3560 <sup>±</sup> 7	(4 <sup>+</sup> )	B F I	J <sup>π</sup> : L(α,α')=4.
3594.8 6			OP
3598 7	(5 <sup>-</sup> )	D F I	E(level): probable triplet in (d,d').
			J <sup>π</sup> : L(α,α')=5.
3631.6 4	(8 <sup>+</sup> )		OP
3686 7		F I	E(level): probable doublet in (d,d').
3724.9 6	(2,3,4) <sup>+</sup>	A F I	J <sup>π</sup> : log ft=7.8 in β <sup>-</sup> decay from 2 <sup>-</sup> , γ's to 2 <sup>+</sup> and 4 <sup>+</sup> , possibly L(α,α')=(4).
3776 7	(0 <sup>+</sup> )	D F	J <sup>π</sup> : L(d,d')=0.
3840 7		B FG	
3884 7		F	E(level): probable doublet in (d,d').
3897 7	(4 <sup>+</sup> )	B D F I	J <sup>π</sup> : L(α,α')=4.
3961.8? 3	(2 <sup>+</sup> )	A	J <sup>π</sup> : log ft=6.8 in β <sup>-</sup> decay from 2 <sup>-</sup> , γ's to 0 <sup>+</sup> and 4 <sup>+</sup> .
4002.2 15	(1,2) <sup>+</sup>	AB D F	J <sup>π</sup> : log ft=8.1 in β <sup>-</sup> decay from 2 <sup>-</sup> , γ to 0 <sup>+</sup> .
4052.4 15	(1,2) <sup>+</sup>	A	J <sup>π</sup> : log ft=8.3 in β <sup>-</sup> decay from 2 <sup>-</sup> , γ to 0 <sup>+</sup> .
4081 8	(3 <sup>-</sup> )	F I	J <sup>π</sup> : L(α,α')=(3).
			E(level): probable doublet in (α,α').
4098.5 15	(1,2) <sup>+</sup>	A	J <sup>π</sup> : log ft=7.7 in β <sup>-</sup> decay from 2 <sup>-</sup> , γ to 0 <sup>+</sup> .
4149 8	(7 <sup>-</sup> )	F I	J <sup>π</sup> : L(α,α')=7.
4198.8? 3	(1,2) <sup>+</sup>	A D	J <sup>π</sup> : log ft=6.3 in β <sup>-</sup> decay from 2 <sup>-</sup> , γ to 0 <sup>+</sup> .
4224.2 7		D F	OP
4237.6? 4	(1,2,3) <sup>+</sup>	A	J <sup>π</sup> : log ft=6.7 in β <sup>-</sup> decay from 2 <sup>-</sup> .
4340 8	(4 <sup>+</sup> )	F I	J <sup>π</sup> : L(p,p')=4.
4369.8 8			OP
4479.3 5	(10 <sup>+</sup> )		OP
4637.9? 8	(1,2,3) <sup>+</sup>	A	J <sup>π</sup> : log ft=6.1 in β <sup>-</sup> decay from 2 <sup>-</sup> .
4669.8? 8	(1 <sup>-</sup> ,2 <sup>-</sup> ,3 <sup>-</sup> )	A	J <sup>π</sup> : log ft=5.8 in β <sup>-</sup> decay from 2 <sup>-</sup> .
4812.4 6	(12 <sup>+</sup> )		OP
5490.9 6	(11 <sup>+</sup> )		OP
5804.5 7	(12 <sup>+</sup> )		OP
6006.8 7	(13 <sup>+</sup> )		OP
6371.7 8	(14)		OP
7055.0 9	(15)		OP
7791.8 10	(16)		OP
8980.6 12			0

Continued on next page (footnotes at end of table)

---

**Adopted Levels, Gammas (continued)**

---

 $^{94}\text{Zr}$  Levels (continued)

<sup>†</sup> Deduced from the adopted  $\gamma$ 's if not indicated otherwise.

<sup>‡</sup> From (t,p).

Adopted Levels, Gammas (continued)

$\gamma(^{94}\text{Zr})$										
$E_i(\text{level})$	$J_i^\pi$	$E_\gamma^\dagger$	$I_\gamma^\ddagger$	$E_f$	$J_f^\pi$	Mult.&	$\delta^\&$	$\alpha^a$	$I_{(\gamma+ce)}$	Comments
918.75	2 <sup>+</sup>	918.74 5	100	0.0	0 <sup>+</sup>	E2@		0.00083		$\alpha(\text{K})=0.00072$ 2 B(E2)(W.u.)=4.9 3
1300.19	0 <sup>+</sup>	381.57 19	100	918.75	2 <sup>+</sup>	[E2]		0.0099		$\alpha(\text{K})=0.0085$ 3; $\alpha(\text{L})=0.00102$ 3 B(E2)(W.u.)=9.4 4
		1300.18# 18		0.0	0 <sup>+</sup>	E0@			0.40 4	
1469.62	4 <sup>+</sup>	550.88 10	100	918.75	2 <sup>+</sup>	[E2]		0.00319		$\alpha(\text{K})=0.00276$ 9; $\alpha(\text{L})=0.00032$ 1 B(E2)(W.u.)=0.879 23
1671.41	2 <sup>+</sup>	752.60 10	100 4	918.75	2 <sup>+</sup>					
		1671.41 10	71 10	0.0	0 <sup>+</sup>					
2057.63	3 <sup>-</sup>	588.0 10	2.8 9	1469.62	4 <sup>+</sup>					
		1138.88 10	100 7	918.75	2 <sup>+</sup>					
2151.31	2 <sup>+</sup>	1232.55 19	100	918.75	2 <sup>+</sup>	M1+E2	-1.7 +8-14	0.00038		$\alpha(\text{K})=0.00038$
2329.9	4 <sup>+</sup>	860	<3.0	1469.62	4 <sup>+</sup>					
		1411.4 6	100 15	918.75	2 <sup>+</sup>	E2(+M3)	-0.13 +13-9	0.00029 4		$\alpha(\text{K})=0.00029$ 3
2366.12	2 <sup>+</sup>	308.22 28	18.3 18	2057.63	3 <sup>-</sup>	E1(+M2)	+0.04 +22-27	0.005 3		$\alpha(\text{K})=0.0040$ 22; $\alpha(\text{L})=0.0004$ 3
		694.66 29	100 3	1671.41	2 <sup>+</sup>	M1(+E2)		0.00160 8		$\alpha(\text{K})=0.00139$ 7; $\alpha(\text{L})=0.00015$ 1
		1066.3 4	12 3	1300.19	0 <sup>+</sup>	E2		0.00051		$\alpha(\text{K})=0.00051$ 2
		1447.41 19	64 4	918.75	2 <sup>+</sup>	M1+E2	+0.64 +14-12	0.00027		$\alpha(\text{K})=0.00027$
2507.7	(3) <sup>+</sup>	836.0 7	14.9 11	1671.41	2 <sup>+</sup>	M1+E2	-0.84 4	0.00102		$\alpha(\text{K})=0.00089$ ; $\alpha(\text{L})=9.8 \times 10^{-5}$
		1589.5 9	100.0 11	918.75	2 <sup>+</sup>	M1+E2				
2605.0	5 <sup>-</sup>	1134.9 8	100	1469.62	4 <sup>+</sup>					
2698.5	(1,2,3)	1779.7 10	100	918.75	2 <sup>+</sup>					
2826.0	(2,3)	1154.6 6	100	1671.41	2 <sup>+</sup>					
2846.3	(1 <sup>-</sup> )	1927.5 6	11 3	918.75	2 <sup>+</sup>					
		2846.3 3	100 11	0.0	0 <sup>+</sup>					
2860.6	4 <sup>+</sup>	1391.0 11	100	1469.62	4 <sup>+</sup>					
2888.2	4 <sup>+</sup>	1969.4 17	100	918.75	2 <sup>+</sup>					
2908.05?	(2 <sup>+</sup> )	1236.60 <sup>b</sup> 20	1.0×10 <sup>2</sup> 3	1671.41	2 <sup>+</sup>					
		1989.3 <sup>b</sup> 7	30 9	918.75	2 <sup>+</sup>					
		2908.4 <sup>b</sup> 8	35 13	0.0	0 <sup>+</sup>					
2945.0	5 <sup>-</sup>	887.4 4	100	2057.63	3 <sup>-</sup>					
3059.31	(1,2,3) <sup>+</sup>	1001.8 3	6.5 18	2057.63	3 <sup>-</sup>					
		1384.9 <sup>b</sup> 10		1671.41	2 <sup>+</sup>					
		2140.60 20	100 12	918.75	2 <sup>+</sup>					
3142.4	(6 <sup>+</sup> )	537.2 4	17.9	2605.0	5 <sup>-</sup>					
		812.5 2	100	2329.9	4 <sup>+</sup>					
		1672.9 7	3.8	1469.62	4 <sup>+</sup>					
3156.4	(4 <sup>+</sup> )	648.7 8		2507.7	(3) <sup>+</sup>					
		2237.3 25		918.75	2 <sup>+</sup>					
3219.42	(1,2,3)	1161.79 10	100 12	2057.63	3 <sup>-</sup>					

Adopted Levels, Gammas (continued)

$\gamma(^{94}\text{Zr})$ (continued)						Comments
$E_i(\text{level})$	$J_i^\pi$	$E_\gamma^\dagger$	$I_\gamma^\ddagger$	$E_f$	$J_f^\pi$	
3219.42	(1,2,3)	1751.1 13		1469.62	4 <sup>+</sup>	
		2300.5 3	26 4	918.75	2 <sup>+</sup>	
3361.16	(1,2,3)	1303.8 6	12 3	2057.63	3 <sup>-</sup>	
		1891.60 20	100 12	1469.62	4 <sup>+</sup>	
		2442.1 3	36 7	918.75	2 <sup>+</sup>	
3442.5	(7 <sup>-</sup> )	837.4 2	100	2605.0	5 <sup>-</sup>	
3594.8		152.3 4	100	3442.5	(7 <sup>-</sup> )	
3631.6	(8 <sup>+</sup> )	489.2 2	100	3142.4	(6 <sup>+</sup> )	
3724.9	(2,3,4) <sup>+</sup>	2255.3 <sup>b</sup> 7	1.0×10 <sup>2</sup> 3	1469.62	4 <sup>+</sup>	
		2805.9 <sup>b</sup> 10	1.0×10 <sup>2</sup> 3	918.75	2 <sup>+</sup>	
3961.8?	(2) <sup>+</sup>	1904.6 <sup>b</sup> 8	16 5	2057.63	3 <sup>-</sup>	
		2492.0 <sup>b</sup> 3	100 16	1469.62	4 <sup>+</sup>	
		2662.4 <sup>b</sup> 10	13 5	1300.19	0 <sup>+</sup>	
4002.2	(1,2) <sup>+</sup>	4002.1 15	100	0.0	0 <sup>+</sup>	
4052.4	(1,2) <sup>+</sup>	4052.3 15	100	0.0	0 <sup>+</sup>	
4098.5	(1,2) <sup>+</sup>	4098.4 15	100	0.0	0 <sup>+</sup>	
4198.8?	(1,2) <sup>+</sup>	2527.3 <sup>b</sup> 4	100 17	1671.41	2 <sup>+</sup>	
		2898.7 <sup>b</sup> 6	50 11	1300.19	0 <sup>+</sup>	
4224.2		629.3 7		3594.8		
		782.0 7		3442.5	(7 <sup>-</sup> )	
4237.6?	(1,2,3) <sup>+</sup>	2566.2 <sup>b</sup> 5	1.0×10 <sup>2</sup> 3	1671.41	2 <sup>+</sup>	
		3318.7 <sup>b</sup> 7	8.×10 <sup>1</sup> 3	918.75	2 <sup>+</sup>	
4369.8		145.7 7	32 3	4224.2		
		927.2	100 8	3442.5	(7 <sup>-</sup> )	
4479.3	(10 <sup>+</sup> )	847.7 2	100	3631.6	(8 <sup>+</sup> )	
4637.9?	(1,2,3) <sup>+</sup>	2966.6 <sup>b</sup> 10	1.0×10 <sup>2</sup> 5	1671.41	2 <sup>+</sup>	
		3718.8 <sup>b</sup> 15	8.×10 <sup>1</sup> 5	918.75	2 <sup>+</sup>	
4669.8?	(1 <sup>-</sup> ,2 <sup>-</sup> ,3 <sup>-</sup> )	2998.4 <sup>b</sup> 10	1.0×10 <sup>2</sup> 5	1671.41	2 <sup>+</sup>	
		3750.9 <sup>b</sup> 15	7.×10 <sup>1</sup> 3	918.75	2 <sup>+</sup>	
4812.4	(12 <sup>+</sup> )	333.1 4	100	4479.3	(10 <sup>+</sup> )	
5490.9	(11 <sup>+</sup> )	1011.6 4	100	4479.3	(10 <sup>+</sup> )	
5804.5	(12 <sup>+</sup> )	313.6 4	100	5490.9	(11 <sup>+</sup> )	
6006.8	(13 <sup>+</sup> )	202.3 4	100 24	5804.5	(12 <sup>+</sup> )	
		1194.4 4	94 24	4812.4	(12 <sup>+</sup> )	
6371.7	(14)	364.9 4	100	6006.8	(13 <sup>+</sup> )	
7055.0	(15)	683.3 4	100	6371.7	(14)	
7791.8	(16)	736.8 4	100	7055.0	(15)	
8980.6		1188.8 <sup>b</sup> 7	100	7791.8	(16)	

$E_\gamma$ : seen only in  $^{176}\text{Yb}(^{28}\text{Si},\text{Fy})$ .

Adopted Levels, Gammas (continued)

$\gamma(^{94}\text{Zr})$  (continued)

- <sup>†</sup> Weighted averages from  $\beta^-$  decay and (n,n' $\gamma$ ).  
<sup>‡</sup> Branching ratios from each level deduced from  $\beta^-$  decay and (n,n' $\gamma$ ).  
<sup>#</sup> Deduced from level energy difference.  
<sup>@</sup> From  $^{94}\text{Zr}(\text{p},\text{p}'\gamma)$ .  
<sup>&</sup> From  $^{94}\text{Zr}(\text{n},\text{n}'\gamma)$ , unless noted otherwise.  
<sup>a</sup> Total theoretical internal conversion coefficients, calculated using the BrIcc code ([2008Ki07](#)) with Frozen orbital approximation based on  $\gamma$ -ray energies, assigned  
multipolarities, and mixing ratios, unless otherwise specified.  
<sup>b</sup> Placement of transition in the level scheme is uncertain.

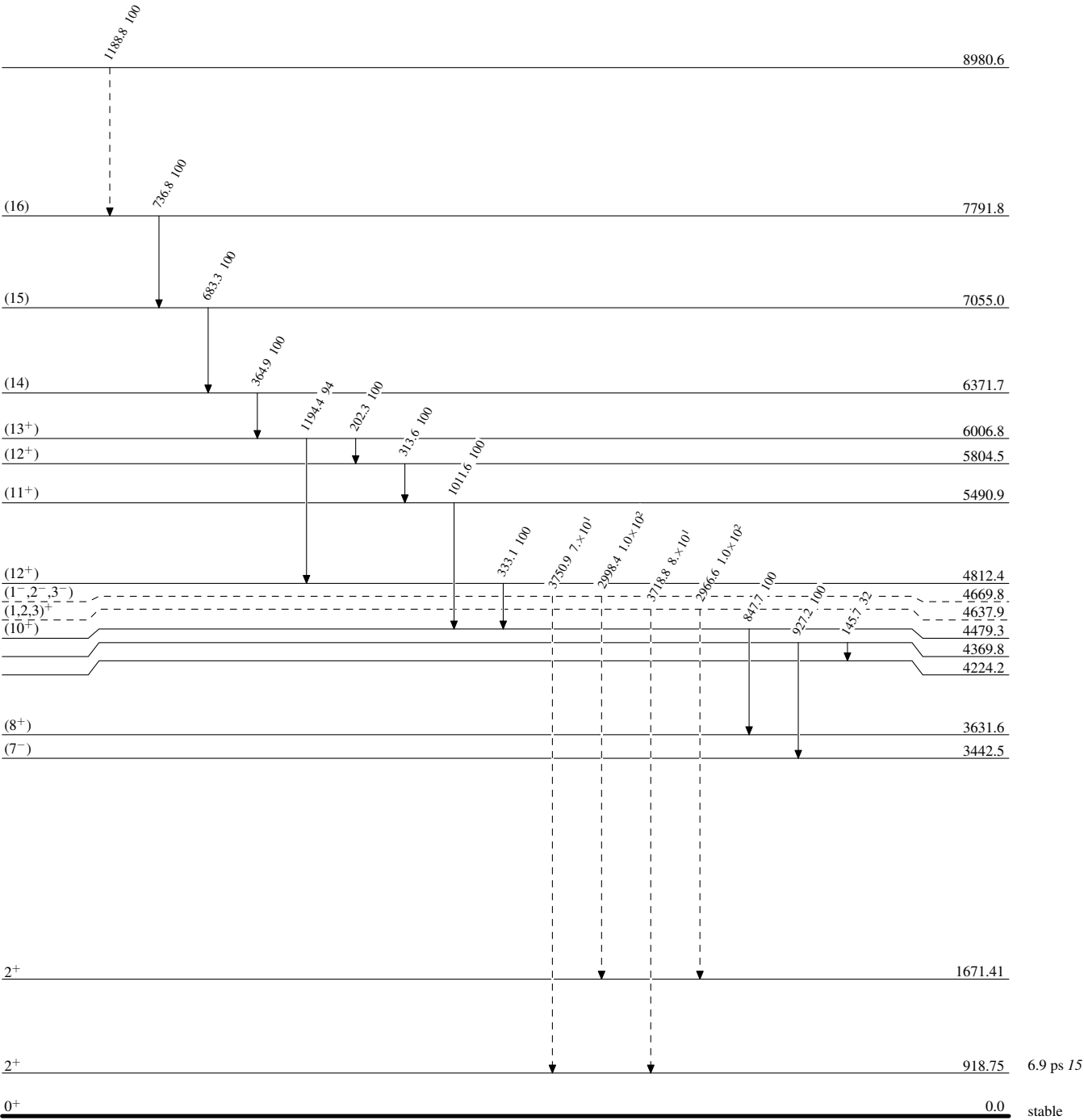
Adopted Levels, Gammas

Legend

Level Scheme

Intensities: Relative photon branching from each level

-----▶ γ Decay (Uncertain)



# Adopted Levels, Gammas

Legend

## Level Scheme (continued)

Intensities: Relative photon branching from each level

-----►  $\gamma$  Decay (Uncertain)
